

PEMODELAN FLUKTUASI MUKA AIR TANAH PADA LAHAN RAWA PASANG SURUT TIPE B/C: KASUS DI SUMATERA SELATAN

(Modeling of Water Table Fluctuation on Tidal Lowland Area of B/C Type: A Case in South Sumatra)

**Ngudiantoro¹⁾, Hidayat Pawitan²⁾, Muhammad Ardiansyah³⁾,
M. Yanuar J. Purwanto³⁾, dan Robiyanto H. Susanto⁴⁾**

ABSTRACT

The objective of this research is to develop a model of water table fluctuation on tidal lowland area of B/C type. Modeling of water table is expected to support the agriculture development on tidal lowland area, especially on water management due to the important role of water management in the agriculture on tidal lowland area. The water table controls on the particular depth can support the farming system and avoid pyrite oxidation. The model of water table fluctuation which is developed in this research based on the ellipse concept. The developed model has been tested on the tidal lowland areas in P6-3N Delta Telang I, Banyuasin District, South Sumatra Province. The simulated model showed the promoting result in estimating the depth of water table on tidal lowland area of B/C type. The developed model could explain the proportion of water table depth variation between 89.5% up to 94.7% with standard error estimation varied from 0.029 to 0.042 meters. The model has high sensitivity to the parameter of the water level in the tertiary canals.

Key words: modeling, water table, water management, tidal lowland area of B/C type

PENDAHULUAN

Peningkatan jumlah penduduk di Indonesia akan berimplikasi pada peningkatan kebutuhan pangan, terutama beras. Pada sisi yang lain, luas lahan pertanian produktif (irigasi teknis), terutama di Pulau Jawa, terus mengalami penyusutan akibat alih fungsi lahan untuk permukiman, industri, dan kegiatan non-pertanian lainnya. Oleh karena itu, dalam upaya memenuhi kebutuhan pangan nasional, pemerintah melakukan pengembangan pertanian pada lahan-lahan marginal seperti lahan rawa. Luas lahan rawa di Indonesia diperkirakan mencapai 33 juta hektar yang terdiri dari 20 juta hektar lahan rawa pasang surut dan 13 juta hektar lahan rawa non-pasang surut. Dari luasan tersebut, total lahan rawa yang telah dikembangkan pemerintah kurang lebih 1,8 juta hektar, terdiri dari 1,5 juta hektar lahan rawa pasang surut dan 0,3 juta hektar lahan rawa nonpasang surut (Departemen Pekerjaan Umum, 2007).

¹ Staf pengajar pada Jurusan Matematika, FMIPA Universitas Sriwijaya, Palembang

² Staf pengajar pada Departemen Agrometeorologi dan Geofika, FMIPA IPB

³ Staf pengajar pada Departemen Keteknikan Pertanian IPB

⁴ Staf pengajar pada Jurusan Tanah, Fakultas Pertanian, Universitas Sriwijaya, Palembang

Reklamasi atau pengembangan lahan rawa pasang surut di Sumatera Selatan telah dilakukan oleh pemerintah sejak tahun 1969 melalui program transmigrasi. Pada awal reklamasi, sistem jaringan tata air yang dibangun masih merupakan sistem jaringan terbuka dengan fungsi utama untuk *drainase*. Pengaturan tata air sepenuhnya masih bergantung pada kondisi alam sehingga kemampuan pelayanan tata air masih sangat rendah. Pada sistem jaringan terbuka, tipe luapan air pasang menjadi pertimbangan utama dalam penerapan sistem usaha tani. Noorsyamsi *et al.* (1984), Widjaja-Adhi *et al.* (1992), Euroconsult (1996), dan Nugroho (2004) mengklasifikasikan tipe luapan pada lahan rawa pasang surut berdasarkan kemampuan luapan air pasang.

Dengan dibangunnya infrastruktur pengendali air, beberapa pokok persoalan teknis dalam pengembangan pertanian lahan rawa pasang surut mulai dapat dipecahkan. Suryadi (1996) menggunakan kondisi hidrotopografi lahan sebagai pertimbangan awal dalam membuat perencanaan untuk pengelolaan air pada lahan rawa pasang surut. Selanjutnya, Susanto (1998) menggabungkan pertimbangan hidrotopografi lahan dan konsep SEW-30 sebagai sistem evaluasi status air di blok sekunder dan tersier. Sistem yang sama juga dikaji oleh Edrissea *et al.* (2000) dengan menggunakan konsep SEW-30 dan DRAINMOD.

Menurut Susanto (2000), pengendalian muka air tanah di blok tersier merupakan suatu proses kunci yang harus dilakukan dengan tepat melalui pengendalian air di saluran tersier. Namun, teknik pengelolaan air yang dilakukan hingga saat ini masih bergantung pada pengamatan muka air tanah secara langsung di lapangan, yaitu dengan membuat sumur-sumur pengamatan di petak lahan. Meskipun memiliki akurasi yang tinggi, tetapi pengamatan muka air tanah secara langsung memerlukan waktu, tenaga, dan biaya yang besar. Selain itu, informasi yang diperoleh juga sangat terbatas, yaitu hanya pada titik pengamatan dan jangka waktu pengamatan tertentu.

Penelitian ini bertujuan membangun model penduga muka air tanah sehingga kondisi muka air tanah di petak lahan dapat diketahui secara cepat melalui parameter-parameter model sebagai prediktor.

METODE PENELITIAN

Lokasi dan Waktu Penelitian

Lokasi penelitian berada di daerah reklamasi rawa pasang surut, yaitu di Blok Tersier 3 P6-3N Delta Telang I, Kabupaten Banyuasin, Provinsi Sumatera Selatan. Berdasarkan kondisi hidrotopografi, lahan di Blok Sekunder P6-3N termasuk dalam kategori lahan tipe B/C. Lahan tipe B hanya dapat digenangi oleh air pasang besar saja (terjadi pada musim hujan), sedangkan pada lahan tipe C tidak pernah digenangi oleh air pasang, tetapi muka air tanah masih dipengaruhi oleh fluktuasi air pasang. Pengamatan lapang dilakukan selama 24 bulan, yaitu pada bulan April 2006 hingga Maret 2008.

Bahan dan Alat

Bahan dan peralatan penelitian yang digunakan adalah pipa paralon diameter 2,5 inci, bor tanah dengan jenis mata pisau terbuka, meteran, papan

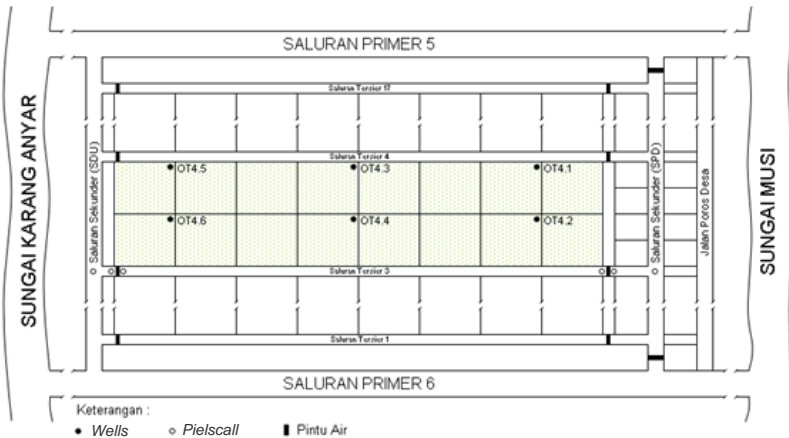
duga (*pielscall*), tabung pembuang (*bailer*), *stopwatch*, GPS, sipat datar (*waterpass*), penakar curah hujan biasa, gelas ukur, dan termometer.

Tahapan Pemodelan

Deskripsi model

Pemodelan fluktuasi muka air tanah pada lahan rawa pasang surut tipe B/C dilakukan di blok tersier, yaitu pada petak lahan di antara dua saluran tersier yang sejajar seperti disajikan pada Gambar 1.

Jaringan tata air di daerah reklamasi rawa pasang surut Delta Telang I terdiri dari (1) saluran primer, yaitu saluran yang dibuat tegak lurus dan terhubung langsung dengan sungai utama; (2) saluran sekunder, terdiri dari saluran pengairan desa (SPD) dan saluran *drainase* utama (SDU), kedua saluran tersebut tegak lurus dan terhubung langsung dengan saluran primer; (3) saluran tersier, yaitu saluran yang dibuat tegak lurus dan terhubung langsung dengan saluran sekunder; dan (4) saluran kuarter, yaitu saluran yang dibuat tegak lurus dengan saluran tersier dan terhubung langsung dengan lahan usaha tani.



Gambar 1. Sketsa model area dan titik pengamatan

Lahan usaha tani dibagi dalam beberapa blok. Tata nama diberikan sesuai dengan hierarki dalam sistem jaringan tata air. Lahan yang berada di antara dua saluran sekunder (SPD dan SDU) disebut sebagai blok sekunder, sedangkan lahan yang berada di antara dua saluran tersier disebut sebagai blok tersier. Dalam satu blok sekunder terdapat 16 blok tersier. Luas lahan usaha tani dalam satu blok tersier adalah 16 hektar sehingga total lahan usaha tani dalam satu blok sekunder adalah seluas 256 hektar. Dalam sistem pengelolaan air, untuk setiap blok tersier merupakan satu unit sistem pengelolaan air.

Pengukuran parameter model

(1) Dimensi saluran

Dimensi saluran yang diukur adalah saluran tersier. Pengukuran dilakukan pada beberapa titik, meliputi lebar atas saluran, lebar bawah saluran, dan kedalaman saluran.

- (2) Tinggi muka air pada saluran
- Pengamatan tinggi muka air pada saluran dilakukan dengan menggunakan papan duga (*pielscall*)
 - Banyaknya titik pengamatan adalah 4 titik di saluran tersier 4, 1 titik di saluran *drainase* utama (SDU), dan 1 titik di saluran pengairan desa (SPD)
 - Pengamatan tinggi muka air pada saluran dilakukan setiap hari antara pukul 07.00-08.00 WIB.
- (3) Tinggi muka air tanah
- Pengamatan tinggi muka air tanah dilakukan melalui sumur pengamatan (*wells*) yang dibuat dari pipa paralon dengan panjang 3 m dan diameter 2,5 inchi. Pipa tersebut dilubangi pada bagian sisi-sisinya kemudian dilapisi dengan ijuk dan ditanam dengan kedalaman $\pm 2,5$ m dari permukaan tanah. Lubang pipa bagian atas ditutup dan hanya dibuka pada saat melakukan pengukuran
 - Banyaknya sumur pengamatan adalah 6 titik dengan sebaran sebagai berikut:
 - 3 titik di petak lahan dekat saluran tersier 4, kira-kira berjarak 5 meter dari saluran tersier 4, dan
 - 3 titik berada di tengah lahan diantara saluran tersier 4 dan tersier 3, kira-kira berjarak 100 meter dari titik pengamatan yang berada di dekat saluran tersier 4.
 - Pengamatan kedalaman muka air tanah dilakukan setiap hari antara pukul 07.00 dan 08.00 WIB.
- (4) Keterhantaran hidrolis tanah
- Pengukuran keterhantaran hidrolis tanah dilakukan secara langsung di petak lahan dengan menggunakan metode *auger hole*. Pengeboran dilakukan di 16 titik, masing-masing 1 titik pada setiap petak lahan. Nilai *K* dihitung dengan menggunakan persamaan (Susanto, 1994):
- $$K = \frac{4000r^2 dY}{H + 20r \left(2 - \frac{Y}{H} \right) Y dt} \dots\dots\dots (1)$$
- dengan
- K*: Keterhantaran hidrolis tanah (m/hari); *H*: Kedalaman lubang *auger* di bawah muka air tanah (cm), *Y*: Jarak antara muka air tanah dan ketinggian air rata-rata di bawah lubang *auger* pada selang waktu *dt* (cm), *r*: Jari-jari lubang *auger* (cm), dan *t*: Waktu pengukuran (detik).
- (5) Curah hujan dan suhu
- Pengamatan curah hujan dilakukan setiap hari dengan alat penakar curah hujan biasa (*ombrograph type observatorium*). Pada tempat yang sama, juga diamati suhu harian maksimum dan minimum relatif.
- (6) Evapotranspirasi
- Perhitungan evapotranspirasi harian dilakukan dengan menggunakan *software* ETo Versi 1,0. Metode yang dipilih adalah *Penman Monteith*. Parameter input yang digunakan adalah karakteristik stasiun (negara, *latitude*, *longitude*, *altitude*) dan suhu udara maksimum dan minimum harian. Parameter input yang lain dalam asumsi (*default*).

Formulasi model matematika

Model penduga muka air tanah pada lahan rawa pasang surut dibangun berdasarkan model matematika yang telah dirumuskan sebelumnya, yaitu model Kirkham (1967). Selain menggunakan asumsi yang sama dengan model Kirkham, model yang dibangun juga mengintroduksi konsep “*mirror image*”.

Verifikasi model

Verifikasi model dilakukan dengan menggunakan data pengamatan periode April 2006 hingga Maret 2007. Setelah verifikasi, dilakukan simulasi dan uji sensitivitas untuk mengetahui pengaruh dari masing-masing parameter model. Parameter yang memiliki sensitivitas tinggi terhadap model dapat dijadikan sebagai parameter utama dalam pengendalian muka air tanah di petak lahan.

Validasi model

Validasi model meliputi validasi struktur (formulasi matematik) dan validasi kinerja (hasil). Validasi model dengan data pengamatan periode April 2007 hingga Maret 2008 dilakukan untuk mengukur kehandalan model dalam menduga muka air tanah. Tingkat kehandalan model dalam pendugaan ditentukan dari (1) nilai koefisien korelasi (*R*) antara hasil dugaan dan pengamatan dan (2) galat baku pendugaan atau *root mean square error (RMSE)*. Model yang handal dicirikan oleh nilai *R* yang relatif besar dan *RMSE* hasil pendugaan relatif kecil. Semakin besar nilai *R* dan/atau semakin kecil nilai *RMSE*, model yang dihasilkan semakin baik. Kedua nilai tersebut diperoleh dari persamaan berikut:

$$R = \frac{\sum_{i=1}^N (x_i - \bar{x})(y_i - \bar{y})}{\sqrt{\sum_{i=1}^N (x_i - \bar{x})^2 \sum_{i=1}^N (y_i - \bar{y})^2}} \dots\dots\dots (2)$$

Dan

$$RMSE = \sqrt{\frac{\sum_{i=1}^N (y_i - x_i)^2}{N}} \dots\dots\dots (3)$$

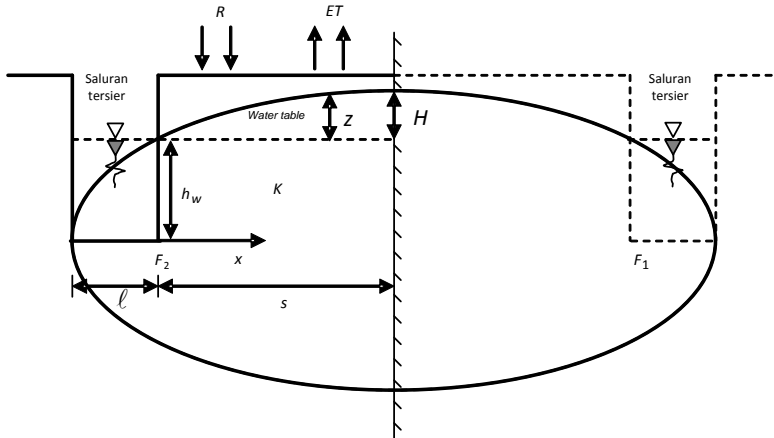
dengan

y_i = Nilai pengamatan pada waktu ke-*i*, \bar{y} = Nilai rata-rata pengamatan, x_i = Nilai dugaan pada waktu ke-*i*, \bar{x} = Nilai rata-rata dugaan, N = Jumlah pengamatan.

HASIL DAN PEMBAHASAN

Pengembangan Model

Pada model ellips yang diilustrasikan oleh Kirkham, dua buah saluran di dalam ellips diletakkan secara bebas, batas tepi saluran tidak ada yang terikat dengan titik-titik utama ellips (titik fokus dan titik puncak ellips). Berbeda dengan konsep yang dikembangkan oleh Kirkham, model penduga muka air tanah yang dibangun dalam penelitian ini menempatkan batas tepi saluran pada titik-titik utama ellips (Gambar 1), dan didasarkan atas asumsi bahwa (1) model ellips untuk muka air tanah mengintroduksi konsep *mirror image*, (2) kedalaman saluran sampai pada lapisan kedap, dan (3) kemiringan permukaan lahan relatif kecil.



Gambar 1. Modifikasi model ellipsis Kirkham

Dengan asumsi-asumsi tersebut, persamaan ellipsis pada Gambar 1 dapat ditulis sebagai berikut:

$$\frac{(s-x)^2}{(s+l)^2} + \frac{(z+h_w)^2}{(s+l)^2 - s^2} = 1 \text{ dengan } (s+l)^2 - (H+h_w)^2 = s^2 \dots\dots\dots (4)$$

atau

$$h^2(x) = h_w^2 + \frac{h_w}{s+l} (2sx - x^2) \dots\dots\dots (5)$$

Pada kondisi riil, lebar saluran dan jarak antarsaluran adalah tetap sehingga panjang $s+l$ dan s tetap. Tinggi muka air tanah maksimum ($H+h_w$) dapat berubah karena pengaruh beberapa faktor, antara lain (1) peningkatan muka air tanah karena pengisian dari air hujan (R); (2) penurunan muka air tanah karena proses evapotranspirasi (ET); (3) pasang surut muka air di saluran tersier (h_w); (4) keterhantaran hidraulik tanah (K), yang mempengaruhi kecepatan aliran air merembes masuk dan keluar lahan.

Jika $H+h_w$ berubah, $z+h_w$ atau $h(x)$ juga akan berubah untuk setiap perubahan pada x . Oleh karena itu, apabila parameter input curah hujan (R), evapotranspirasi (ET), dan keterhantaran hidraulik tanah (K) diintroduksi ke dalam Persamaan (5), akan diperoleh

$$h^2(x) = h_w^2 + \frac{h_w}{s+l} \frac{R-ET}{K} (2sx - x^2) \dots\dots\dots (6)$$

dengan

- $h(x)$ = Tinggi muka air tanah di atas lapisan kedap pada jarak x dari saluran (m);
- h_w = Tinggi muka air pada saluran di atas lapisan kedap (m);
- R = Curah hujan (mm/hari);
- ET = Evapotranspirasi (mm/hari);
- K = Keterhantaran hidraulik tanah (mm/hari);
- x = Jarak dari saluran (m);
- $2s$ = Jarak antarsaluran (m);
- l = Lebar saluran (m).

Selanjutnya, tinggi muka air tanah maksimum terletak pada pusat ellips, dicapai pada saat $x = s$ dan $z = H$ sehingga jarak antarsaluran ($2s$) dapat dinyatakan dengan persamaan:

$$s = \frac{K}{R - ET} \frac{H_m^2 - h_w^2}{h_w} + h_w - \ell \dots\dots\dots (7)$$

dengan $H_m = H + h_w$ adalah tinggi muka air tanah maksimum

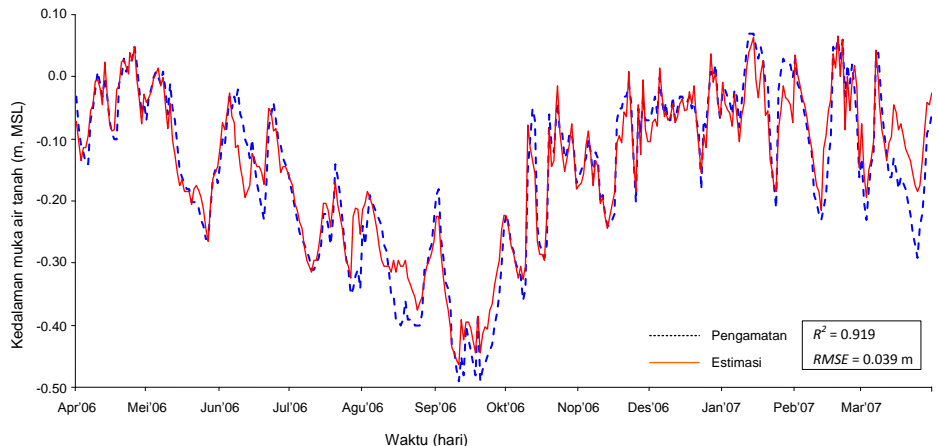
Dalam penerapannya, tidak semua sistem jaringan tata air yang dibangun didasarkan atas konsep ellips. Oleh karena itu, pendugaan kedalaman muka air tanah pada lahan tersebut dilakukan dengan menggunakan persamaan:

$$h^2(x) = h_w^2 + \frac{H_m}{\sqrt{(s + \ell)^2 - s^2}} \frac{h_w}{s + \ell} \frac{R - ET}{K} (2sx - x^2) \dots\dots\dots (8)$$

Pada sistem jaringan tata air yang dibangun berdasarkan konsep ellips, $H_m = \sqrt{(s + \ell)^2 - s^2}$, Persamaan 8 akan sama seperti Persamaan 6.

Penerapan Model

Grafik pendugaan fluktuasi muka air tanah pada lahan rawa pasang surut tipe B/C di Blok Tersier 3 P6-3N Delta Telang I dengan menggunakan Persamaan (8) dapat dilihat pada Gambar 2.



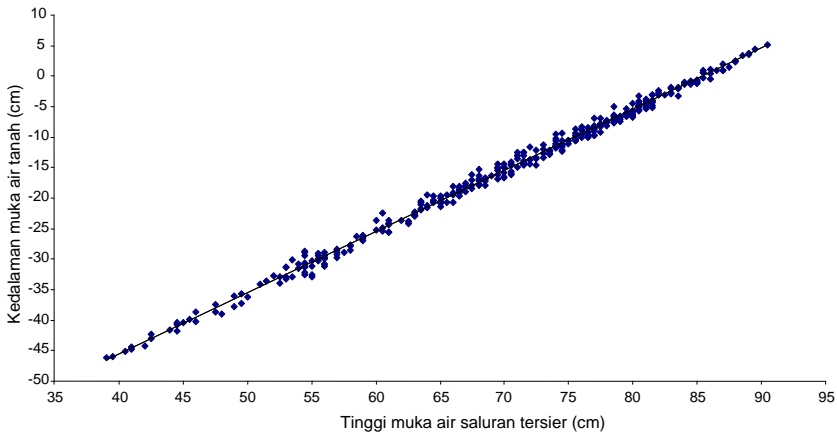
Gambar 2. Pendugaan fluktuasi muka air tanah pada lahan rawa pasang surut tipe B/C di titik pengamatan OT4.4 P6-3N Delta Telang I

- Dari pengujian model yang dilakukan, diperoleh hasil sebagai berikut.
- (1) Model yang dibangun telah dapat memprediksi kedalaman muka air tanah di petak lahan dengan hasil yang baik, ini ditunjukkan dengan nilai koefisien determinasi yang relatif besar dan galat baku pendugaan yang relatif kecil (Tabel 1).

Tabel 1. Ringkasan hasil pendugaan kedalaman muka air tanah di Blok Tersier 3 P6-3N Delta Telang I

Titik pengamatan	<i>R</i>	<i>R</i> ²	<i>RMSE</i>
OT4.1	0,946	0,895	0,042
OT4.2	0,953	0,908	0,041
OT4.3	0,973	0,947	0,029
OT4.4	0,958	0,919	0,039
OT4.5	0,972	0,944	0,030
OT4.6	0,959	0,920	0,034

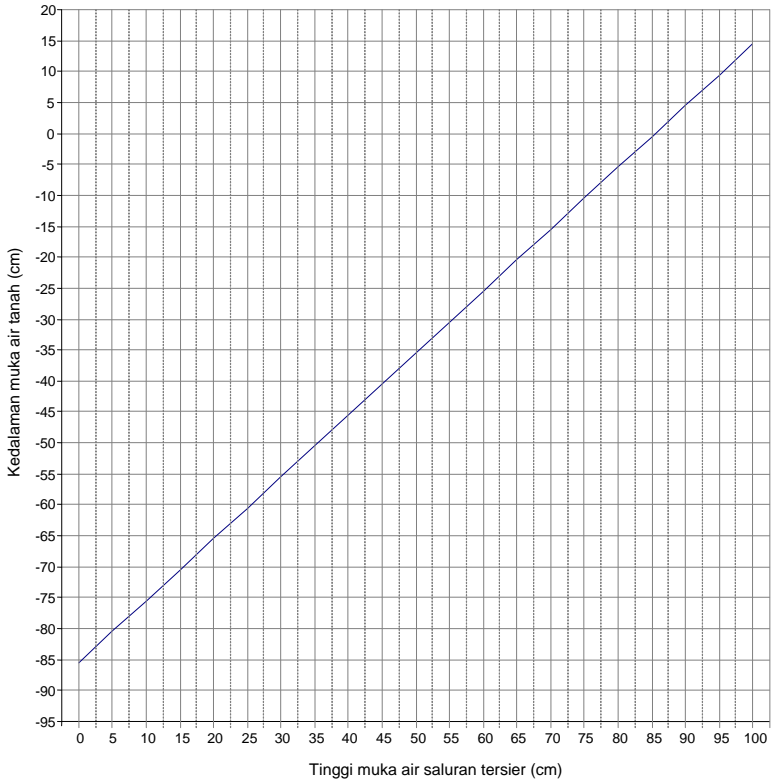
- (2) Parameter tinggi muka air di saluran tersier (h_w) memiliki sensitivitas yang tinggi terhadap model. Kenaikan atau penurunan muka air di saluran tersier akan menyebabkan kenaikan atau penurunan muka air tanah di petak lahan dengan besaran yang sama. Diagram pencar pada Gambar 3 menunjukkan bahwa kedalaman muka air tanah di petak lahan berbanding lurus dengan tinggi muka air di saluran tersier.



Gambar 3. Diagram pencar tinggi muka air di saluran tersier dan kedalaman muka air tanah di Blok Tersier 3 P6-3N Delta Telang I

- (3) Parameter curah hujan (*R*) dan evapotranspirasi (*ET*) menunjukkan pengaruh yang signifikan terhadap perubahan muka air tanah $h(x)$ pada lahan yang letaknya relatif jauh dari saluran. Namun, pengaruh *R* dan *ET* terhadap perubahan $h(x)$ relatif kecil. *R* dapat meningkatkan $h(x)$ antara 0-5,2 cm, sedangkan *ET* dapat menurunkan $h(x)$ antara 0-0,7 cm, untuk $0 \leq x \leq 100$ meter.

Dengan menggunakan model yang telah dibangun dan teruji kehandalannya, dapat dirumuskan skenario pengaturan tata air untuk pengendalian muka air tanah di petak lahan. Skenario tersebut disajikan dalam bentuk grafik (Gambar 4) dan dapat dijadikan sebagai panduan dalam operasi tata air.



Gambar 4. Grafik pengaturan tata air untuk pengendalian muka air tanah di petak lahan Blok Tersier 3 P6-3N Delta Telang I

Terdapat tiga hal pokok yang harus diperhatikan dalam pengaturan tata air pada lahan rawa pasang surut tipe B/C, yaitu:

- (1) **Retensi air**
Ketika tidak ada hujan dan air di saluran sedang surut, muka air tanah di petak lahan akan turun hingga beberapa cm di bawah permukaan tanah. Retensi air dilakukan untuk mempertahankan muka air tanah pada kedalaman tertentu. Penurunan muka air tanah hingga di bawah lapisan tanah yang mengandung pirit dapat menyebabkan terjadinya oksidasi pirit. Selain itu, retensi air juga diperlukan untuk mencegah terjadinya kekurangan air dan menciptakan kondisi lingkungan bagi penyerapan nutrisi yang dibutuhkan tanaman. Retensi air dapat dilakukan dengan cara menutup pintu air di saluran tersier pada saat air surut dan membuka pintu air pada saat pasang. Retensi air sebaiknya tidak dilakukan dalam waktu yang lama untuk mencegah terbentuknya bahan beracun dalam tanah.
- (2) **Drainase**
Drainase dilakukan apabila terjadi kelebihan air pada lahan usaha tani, misalnya setelah terjadi hujan lebat. *Drainase* juga diperlukan pada kondisi-kondisi tertentu seperti sebelum dilakukan pemupukan, pada masa panen, atau ketika kualitas tanah dan air memburuk. *Drainase* dapat dilakukan dengan cara membuka pintu air di saluran tersier pada saat air surut dan

menutup pintu air pada saat pasang. Namun, harus diupayakan agar *drainase* tidak dilakukan terlalu dalam. Pada areal tertentu, *drainase* yang terlalu dalam dapat menimbulkan risiko terjadinya oksidasi pirit di bawah permukaan tanah. Oleh karena itu, muka air tanah harus dipertahankan pada kedalaman tertentu agar tetap berada di atas lapisan tanah yang mengandung pirit.

- (3) Pemasukan air
Tanpa irigasi, sumber air utama pada lahan rawa pasang surut berasal dari curah hujan dan air pasang di saluran. Apabila kualitas air layak (tidak asin atau asam), pemasukan air ke lahan usaha tani dapat dilakukan untuk menjamin kecukupan air bagi tanaman dan juga peningkatan kualitas tanah. Pada kondisi tertentu, genangan air di lahan usaha tani perlu dipertahankan untuk berbagai tujuan. Namun, penggenangan lahan dalam waktu yang relatif lama harus dihindari untuk mencegah terbentuknya bahan beracun dalam tanah. Jika selama penggenangan terbentuk unsur racun, harus dilakukan pencucian pada saat terjadi hujan atau ketika air di saluran tersier surut.

SIMPULAN DAN SARAN

Simpulan

- (1) Model penduga fluktuasi muka air tanah pada lahan rawa pasang surut tipe B/C dan persamaan jarak antarsaluran telah dirumuskan, masing-masing dapat dilihat pada Persamaan (6) dan (7).
- (2) Proporsi keragaman kedalaman muka air tanah pada lahan rawa pasang surut tipe B/C di Blok Tersier 3 P6-3N yang dapat dijelaskan oleh model adalah sebesar 89,5% hingga 94,7%, dengan galat baku pendugaan 0,029-0,042 meter.
- (3) Tinggi muka air di saluran tersier merupakan parameter utama dalam pengendalian muka air tanah di petak lahan sebab perubahan muka air di saluran tersier akan menyebabkan perubahan muka air tanah di petak lahan dengan besaran yang sama, sedangkan curah hujan dan evapotranspirasi hanya memberikan pengaruh yang relatif kecil terhadap kondisi muka air tanah di petak lahan.

Saran

Model penduga muka air tanah dan teknik pengendalian muka air tanah di petak lahan telah dibangun dalam penelitian ini. Kedalaman muka air tanah di petak lahan dapat diduga melalui parameter-parameter model sebagai prediktor, dan kondisi muka air tanah dapat dikendalikan pada kedalaman tertentu melalui pengaturan tinggi muka air di saluran tersier.

Dalam implementasinya, agar kondisi muka air tanah dapat mendukung sistem usaha tani, perlu dibuat panduan pengoperasian pintu air di saluran tersier sesuai dengan sistem usaha tani yang diterapkan. Penelitian lanjutan tentang sistem telemetri dan rekayasa sistem kontrol (bangunan pengendalian air) di

saluran tersier dapat melengkapi model dan teknik pengendalian muka air tanah yang telah dibangun.

Selanjutnya, keberhasilan dan keberlanjutan pengembangan pertanian lahan rawa pasang surut harus didukung dengan infrastruktur pengendali air yang memadai, operasi dan pemeliharaan jaringan dengan penguatan kelembagaan P3A (perkumpulan petani pemakai air), serta pengenalan dan implementasi sistem usaha tani. Peningkatan kemampuan dan pemberdayaan, serta partisipasi masyarakat perlu dilakukan secara berkesinambungan melalui berbagai sosialisasi dan pelatihan, baik dari aspek teknis maupun non teknis.

UCAPAN TERIMA KASIH

Penelitian lapangan terlaksana atas dukungan dan bantuan dari banyak pihak. Ucapan terima kasih terutama disampaikan kepada Ditjen Dikti Depdiknas, Dinas PU Pengairan Kabupaten Banyuasin, Dinas PU Pengairan Provinsi Sumatera Selatan, Ditjen Sumber Daya Air Departemen PU, Departemen Pertanian, Universitas Sriwijaya, Pusat Data-Informasi Daerah Rawa dan Pesisir, serta Rijkswaterstaat UNESCO-IHE the Netherlands.

DAFTAR PUSTAKA

- Chescheir GM, Fipps G, Skaggs RW. 1986. An approximate method for quantifying lateral seepage to and from drained fields. Paper; For presentation at the 1986 Winter Meeting American Society of Agricultural Engineers, Hyatt Regency, Chicago IL, December 16-19, 1986.
- Edrissea F, Susanto RH, Amin M. 2000. Penggunaan konsep SEW-30 dan DRAINMOD untuk evaluasi status air di petak sekunder dan tersier di daerah reklamasi rawa pasang surut Telang I dan Saleh Sumatera Selatan. Semiloka Manajemen Daerah Rawa dan Kawasan Pesisir. Palembang 4-6 Maret 2000.
- Euroconsult. 1996. Buku Panduan untuk Pengamat Proyek Telang-Saleh. Departemen Pekerjaan Umum, Direktorat Jenderal Pengairan, Direktorat Pembinaan Pelaksanaan Wilayah Barat.
- Kirkham D. 1967. Explanation of paradoxes in Dupuit-Forchheimer seepage theory. *Water Resour. Res.* 3:609-622.
- Marino MA, Luthin JN. 1982. *Seepage and Groundwater*. Elsevier Scientific Publishing Co. Amsterdam, The Netherlands. 489 pp.
- Noorsyamsi H, Anwarhan H, Soelaiman S, Beachell HM. 1984. Rice cultivation in the tidal swamp in Kalimantan. Workshop on research priorities in the tidal swamps rice. Los Banos Philipine: IRRI.
- Nugroho K. 2004. Aspek Hidrologi dalam Klasifikasi Tipe Luapan Pasang Surut, Studi Kasus Daerah Telang Sumatera Selatan [disertasi]. Bogor: Sekolah Pascasarjana, Institut Pertanian Bogor.

- Suryadi FX. 1996. Soil and Water Management Strategies for Tidal Lowlands in Indonesia [disertasi]. Rotterdam: A.A. Balkema.
- Susanto RH. 2000. Manajemen air daerah reklamasi rawa dalam kompleksitas sistem usaha tani. Workshop Teknologi Pengembangan Lahan Rawa; Integrated Swamps Development Project Loan. Palembang 29 Agustus-1 September 2000.
- Susanto RH. 1998. Water status evaluation in tertiary and secondary blocks of South Sumatra reclaimed tidal lowlands using the hidrotopography and SEW-30 concepts. Proceeding of the Young Professional Forum-International Commision on Irrigation and Drainage Seminar (B3). Bali July 23, 1998.
- Widjaja-Adhi IPG, Nugroho K, Suriakarta DA, Karama AS. 1992. Sumberdaya Lahan Pasang Surut, Rawa dan Pantai: Potensi, Keterbatasan dan Pemanfaatannya. Makalah Utama, Disajikan dalam Pertemuan Nasional Pengembangan Pertanian Lahan Pasang Surut dan Rawa. Bogor, 3-4 Maret 1992.